

16724

74.37

74.6732

059980

LQJ

1962.11.17

露天矿微差爆破

B. M. 魯 契 金 著
C. A. 达維多夫



建筑工程出版社

露天矿微差爆破

森 森 林 姜 荣 超 譯

建筑工程出版社出版

• 1958 •

原本說明:

書名: Короткозамедленное взрывание на карьерах
著者: В. М. Ручкин, С. А. Даевыдов
出版者: Промстройиздат
出版地点及年份: Москва—1956

露天矿機基爆破
喬森林 姜榮選 譯

建筑工程出版社出版(北京市阜成門外大街)

(北京市書刊出版業營業登記證出字第052號)

建筑工程出版社印刷厂印刷·新华書店發行

書名: 87 39頁 850×1108 級 甲級 1%

1958年8月第1版 1958年8月第1次印刷

印數: 1~2, 300册

統一書號: 15040·937
定 价: (10)0.28元

目 录

序言.....	2
I. 微差爆破方法的原理及其优点.....	2
II. 微差爆破的方法和使用的工具.....	6
III. 微差爆破的穿孔爆破参数.....	23
IV. 微差爆破的必备条件.....	32
1. 深孔网的排列	32
2. 深孔爆破次序与线路敷设.....	36
V. 微差爆破在露天矿的应用.....	39

序 言

微差爆破是目前最先进的爆破方法之一。在二十年代末期，我国就出现了采用这种爆破的想法。起初，为了保证多组药包的准爆曾采用 1913 年型威力小的放炮器、贾法尼电池组和军事工程管理局型延发仪器。在三十年代中期，微差爆破的经验继续用于矿岩的定向抛掷爆破。爆破是用玛列尔工程师（采苏爆破工业管理总局生产试验管理处）设计的仪器进行的。不久以后，生产试验管理处设计了一些新型延发仪器（手提留声机型的，鼓型的和其他等），借助于这些仪器进行了一系列的微差爆破试验。但是采矿工业中的这些工作在伟大卫国战争时期中断了，一直到 1949 年才恢复进行。

国外是从 1945~1946 年开始在采矿工业中采用微差爆破的，在那里，微差爆破首先是用来减轻爆破的地震影响。稍迟一些时候，国外无论在露天采矿中或者是在地下采矿中都开始采用了微差爆破。

在文献中，微差爆破这一问题还未得到应有的阐明，因而生产者对采用这一新工作方法经常感到为难。

考虑到这种情况，本书作者不打算全面地来阐述这一问题，而只试图使采矿工作者了解一下微差爆破的工作方法和参数以及有关仪器的结构和工作情况。

I. 微差爆破方法的原理及其优点

微差爆破是以一定顺序按规定的千分之几秒或百分之几秒的时间间隔来爆破药包。最后一个药包的爆破是在前一药包所爆破

的岩体已部分破坏、但在岩体中所引起的应力还未消失的一瞬间發生的。因此，后一药包是在岩体已被松动的条件下爆破的，这是因为此时被爆岩体产生了补充自由面，并且还可以利用前一爆破所产生的剩余应力。由于比較完全地利用了炸药能量，所以爆破效率能提高。

微差爆破的延發時間範圍基本上是由 10 到 100 毫秒，但有时由于岩石硬度和爆破用途的不同，这一范围也有某些改变。

原則上確定，被爆岩石越硬和深孔間距越小，爆破的延發時間也越短。

在需要增加矿岩产量和降低地震影响的場合下，建議采用較短的延發时间；假若必須將被爆岩石抛往預定的方向，則延發時間就应当長一些。

正如多次觀察和專門进行的試驗所表明，采用微差爆破与采用即發爆破比較起來，有其一系列重要的优点。

首先，它能大大降低爆破的地震影响。例如，在正确选择等于地震波周期一半的抗震時間間隔(Антисейсмический интервал)內，地震影响將降低 80~87%。就整个而言，进行微差爆破时的地震影响將降低 60~66%；这就有可能大規模地进行爆破工作，即每單位時間間隔內，在药量不超过即發爆破时对建筑物無地震危險之最大药包量的情况下，能爆炸大量的炸药。

其次，与即發爆破相比較，它可依靠增加深孔的允許間距来提高每公尺深孔的崩矿量，从而降低炸药的單位消耗量。

如系硬岩时，这两个优点尤为明显。

再次，可以減小炸下矿块的爆堆寬度，于是也就有可能在爆破梯段时不拆除鐵道。

第四，使岩体后冲部分产生的裂縫(Закол)減少，故可大大減輕穿鑿新深孔的工作。但是只有当正确地选择了延發時間間隔时才能达到裂縫減少的目的。

第五，当用正面工作面掘进堑溝时，可以形成定向單側塌落。这样就可以敷設更長的鐵道線路，从而电罐工作綫加長，电罐生

产率提高。

最后，在某些場合下，当正确地选择了延發時間間隔和爆破順序时，可以改善矿岩的破碎程度，从而不合規格矿塊的产出率降低。这一点特別在很致密的岩石中可以觀察到，但通常在有裂縫的岩石中却不容易發現。

自然会产生疑問：为什么微差爆破比即發爆破会有上面所指出的一些优点？这些优点从理論观点看来又怎样解釋？

很遺憾，在目前還沒有一个严整的、有科学根据的和舉世公認的微差爆破理論，因为对微差爆破时在岩石介質中發生的極端复杂的物理現象還沒有进行过專門的研究。

但是为了解釋微差爆破的各种特性，苏联和外国的許多作者已分別提出了許多假說。我們認為沒有必要研究所有的这些假說，何况其中有些假說还不能經受严格的批判。現在我們來談談其中的一个假說，从我們的觀点出發，認為这个假說最能正确地解釋微差爆破過程的特性。

进行微差爆破时，由于地震波發生干扰而使地震作用減小的意見已被广泛接受。因为各次爆破的時間間隔特別短，以致后一药包在前一药包所引起的地震震动开始減弱之前就發生了爆炸，新的地震波与前一地震波的相不是重合的，因而形成了地震波的平衡，也就是地震波的某些消失。自然，假若延發時間間隔等于地震波周期的一半，則地震波消失得最厉害。因此那种延發時間間隔称为抗震延發時間間隔。遺憾的是，目前所有的爆破工具還不能保証延發的充分准确性，因而通常不能严格遵守抗震延發時間間隔。

进行微差爆破时，矿岩崩落量的增加，或者更准确一点說，深孔間距的增加，是極易解釋的，因而也沒有引起任何特殊的異議。

事实上，正如大家所知道的，进行即發爆破时，排列深孔应当使深孔間距小于“底盤抵抗縫”。只有当該种直徑的單个药包能克服底盤抵抗力的情形下，孔距方可等于底盤抵抗縫，甚至大

5~10%。

即發爆破时，如再增大孔距，则深孔間的岩石（指堅硬岩石而言）就不可能完全破坏。

进行微差爆破时，觀察到的岩石破坏順序就不同了。假如延發时间足够長時，并且第一个药包所爆破的岩体部分已經發生前进运动时，则在先前爆破的地方形成补充自由面，这無疑地就減輕了第二个药包的工作量。同时，众所週知，在有數个自由面的矿体内佈置药包，且药包与每一自由面距离相等时，则此时將获得最好的爆破效果。

当然，进行微差爆破时最好能这样来佈置第二个药包，使得該药包到梯段面和到新自由面的距离均相等。估計到松散漏斗是直角形狀，則保証底盤抵抗綫条件相等的孔距按下式决定之。

$$a = \sqrt{2} W = 1.4 W, \quad (1)$$

式中： a ——孔距，公尺；

W ——底盤抵抗綫，公尺。

根据以上所談到的，就会产生这样的問題：被爆岩体开始产生运动需要多少時間？爆破快速电影攝影表明，当底盤抵抗綫为6~8公尺时，梯段的可見移动(Видимое перемещение)約在药包起爆后的40~60毫秒开始。

但是其內应变显然开始要早得多。有关这一方面的問題可由下列觀察証明：当底盤抵抗綫較小且深孔是延發相間爆破时（例如偶数药包为即發爆破，奇数药包延發爆破），則即發爆破的深孔比延發爆破的深孔爆下較寬的爆堆。当延發时间總計为10毫秒时，这种爆堆形式也可能出現。由此可見，甚至在如此短的延發时间內岩体也会产生运动，这样就为相鄰药包形成了所爆岩体的补充自由面。

之所以能降低炸药單位消耗量，是由于將深孔間距增加为1.4，而抵抗綫仍然不变，药包总重量几乎是固定的，因而岩石爆破量的增加就使得炸药單位消耗量降低了。

爆堆宽度的减小也是合乎規律的，因为延發爆破药包是在有

补充自由面的情况下發生爆炸，其爆炸力不仅向工作面坡面的一方作用，而且也向新自由面的一方作用。自然这也就促成了岩石爆堆总宽度的减小。

用类似理由也可解釋岩石爆堆的定向性(Направленность)。在这种情况下，药包間之距离不应大于底盤抵抗綫，以使新自由面方向的最小抵抗綫小于工作面坡面方向的最小抵抗綫，也就是小于底盤抵抗綫。因此，岩塊將向这一方向抛擲。很显然，假若后一药包是在岩体表面已产生可见运动，即經過 60~70 毫秒或 70 毫秒以上才爆破，那么大量岩石將抛置在預定的方向。

被爆岩石破碎程度的提高和裂縫的減少等类現象，解釋起来是相当复杂的。这些現象决定于爆破的延發時間，并且照例只有在較短的延發時間(由 15 到 60 毫秒)內更为明显，这种情况証实了这类現象跟爆破时岩体中产生的应力有关。看来，最好的破碎效果只有当岩体还处在前一爆破所引起的应力状态下、同时并已开始形成新自由面的一刹那間进行后一爆破时才能得到。

實驗証明，在抗震延發時間間隔內能觀察到岩石炸得最碎和最少的裂縫。

大概可以肯定，最近对微差爆破在岩体中进行过程的研究將会完全改变以前所持的觀点。但是在今天这些觀点还能充分解釋微差爆破的根本特点，并且在許多場合中还可用来正确选择各种参数。

II. 微差爆破的方法和使用的工具

現在的露天采矿一般采用下列方法来进行微差爆破：

- 1) 采用借助于換向开关仪(Прибор—переключатель)或以專門电爆綫路来起爆的普通即发电雷管；
- 2) 采用能保証傳爆綫綫路延發爆破的專門仪器或發火裝置(Пиротехническое устройство)；

3) 采用專門的毫秒延發電雷管。

借助于專門的換向开关仪来进行微差爆破的方法已得到最广泛的应用。运用这种仪器每隔一定時間依次供給各起爆药包的电雷管以电流起爆能。

換向开关仪的構造隨着微差爆破技术的發展逐年得到改进，但其进行微差爆破的原理却沒有改变。（圖1）

由圖上可以看出，換向开关仪通常設在离要爆破的深孔有一定距离的地方。仪器的固定接触点各以一根导线与每个药包連接，而从药包引出的导线則联結到总导线上，該总导线的另一端与仪器的活动接触点相联。

当活动接触点与固定接触点閉合时，电流即依次通向爆破线路的每一导线，因而药包按預定次序和为活动接触点运动速度而确定的時間間隔进行爆破。

采用多脉冲放炮器(Многоимпульсная взрывная машинка)进行微差爆破原理示意圖与上述原理示意圖的区别仅在于它不需要許多根將电能傳給仪器的导線。

假若使爆破延發的仪器有遙控裝置的話，則它可設置在离要

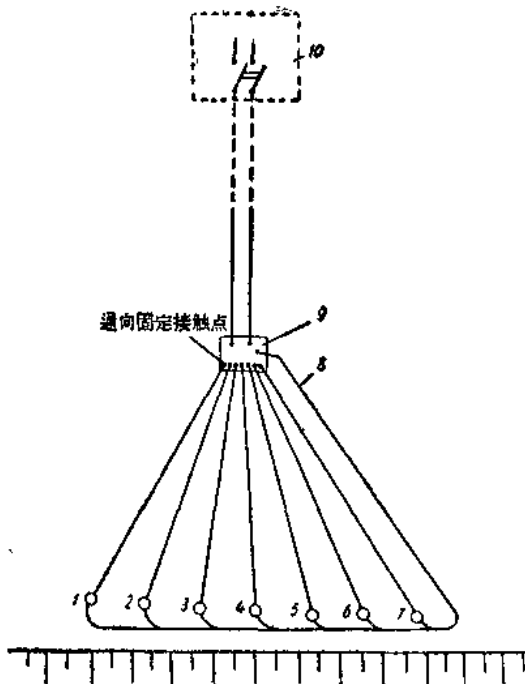


圖 1 換向开关仪接入电爆线路的原理示意圖
1~7—深孔爆破順序；8—总导线；9—延發仪器；
10—爆破站

爆破的深孔 10~20 公尺处，反之，仪器则必须设置于安全距离（100~200公尺）之外。

现在，常用的仪器有库库诺夫、工程管理局、科列尼斯托夫、列昂齐耶夫、卡杜林、格尔什加和其他人设计的仪器。

下面我们将来讨论每一种仪器的构造。

库库诺夫式仪器（图 2）是由带圆筒 2 的容器 1 组成。圆筒内有活塞 3。在活塞上置有重物 P 和许多接触杆 K₁。圆筒 7 的凸缘上则分布着很多活动接触杆 K₂。这些活动接触杆的长度不

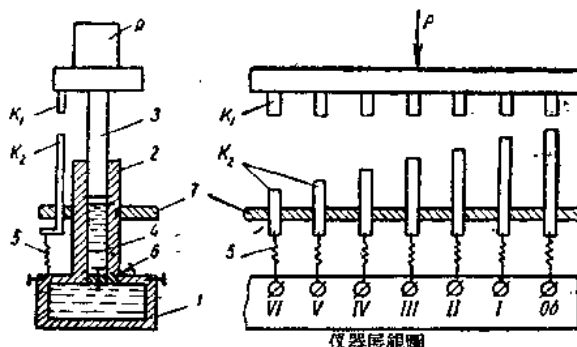


图 2 库库诺夫式仪器原理示意图
I, II, III, IV, V, VI, VII———电流进入各接触点的顺序

同，并用弹簧 5 使其压在凸缘上。仪器作用的步骤如下：用手将活塞 3 提起，此时油 4 由容器吸进圆筒。假若放开活塞，则其慢慢向下移动。这时接触杆 K₁ 便开始依次与接触杆 K₂ 接触，因而电流亦依次进入爆破线路的各导线。

爆破的延时速度决定于接触杆 K₂ 的高度差和活塞的降落速度。活塞向下移动的速度可以用针形阀 6 来调节。仪器分为 15 个延时时间间隔。延时时间间隔是从 10 到 100 毫秒。仪器重约 9 公斤。

库库诺夫式仪器的缺点是仪器需要经常进行调节，这是因为油的粘度随着温度的变化而变化之故。

工程管理局设计的仪器（图 3）的工作以如下方式进行：接

触横杆 K_2 沿着固定接触点群 K_1 滑动，电流便依次进入爆破线路中的各导线。横杆 K_2 由弹簧 1 拉动。用爪 2 来制动横杆和使其启动。当电流进入爆破主线时，则电气引火剂 3 爆炸，因此制动横杆 K_2 的爪 2 向上掀起，仪器就开始发生作用。工程管理局设计的仪器的延发时间系不变的，无需加以调整，共分为 6 个延发时间间隔，延发时间约为 70~80 毫秒。本仪器使用方便，外形尺寸小且轻。仪器的缺点在于其规定的延发时间间隔极不准确，此外，在仪器使用过程中延发时间会因弹簧的弹性发生变化而增加。

科列尼斯托夫式仪器（图 4）是利用重物自由落下的原理来工作的。

仪器中自由落下的重物 P 在销栓 1 拔除后即沿导杆 2 落下，

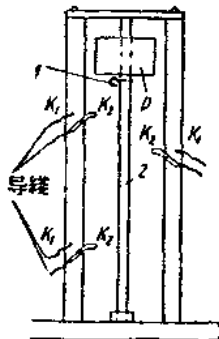


圖 4 科列尼斯托夫式仪器原理示意图

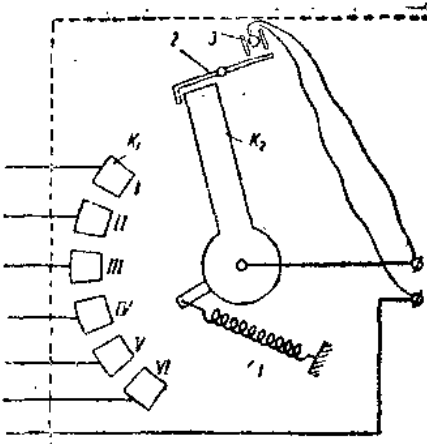


圖 3 工程管理局設計的仪器原理示意图
I, II, III, IV, V, VI, VII………电流进入各接触点的顺序：

1、2、3、4、5、6、7



圖 5 列昂齐耶夫式仪器(ВЭД-Л-1型仪器)原理示意图

使活动接触点 K_2 转动与相应的一些接触点 K_1 接触，爆破线路内各导线即依次接通。本仪器的制造、使用和校准均极简单，但是不能得到很长的延时时间间隔。

工作最可靠和最准确的仪器是以电动机使活动接触点发生运动的换向开关仪。

列昂齐耶夫工程师设计的 ВЭД-Л-1 型仪器（图 5）是一种用电压为 220 伏特的交流电路来工作的换向开关仪。

仪器的装置情况如下：于圆盘周围分布一些固定接触点 1。活动接触点则设置在用电动机 3 并经减速齿轮组 4 转动的圆盘上。电压借助于电刷 5 通向活动接触点。圆盘回转速度是以更换减速齿轮的方法来进行调节的。本仪器可以用遥控方法来接通。

ВЭД-Л-1 型仪器按每隔 10、20、30、40、60、80、120 和 150 毫秒依次接通电路发生作用。

虽然仪器的原理示意图很简单，但它的构造却极为复杂。

1952 年生产的这种仪器重约 30 公斤，1953 年生产的较轻，但是后者各接触点的接触时间经常有偏差。

卡杜林式仪器（图 6）由下列主要部分组成：电动机 1，螺丝杆 2，带有活动接触点 4 的螺母 3 和安置在两个平行于螺丝杆的板 6 上的固定接触点群 5。

电动机带动螺丝杆旋转，进而推动螺母以一定速度向前移动。

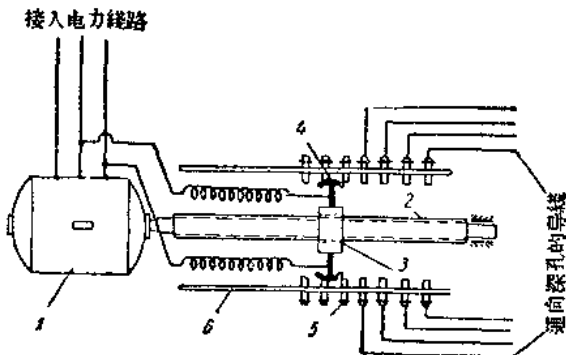


图 6 卡杜林式仪器原理示意图

此时，各固定接触点依次地閉合，而自依次爆破之起爆电雷管引出的导綫分別接在各固定接触点上。爆破間的延發時間間隔决定于电动机的迴轉數、螺絲杆螺距的長短以及各固定接触点間的距离。利用仪器可以得到由 45 毫秒到 4 秒的延發時間範圍。

生产試驗管理处制成了新型的卡杜林式仪器，其特点是尺寸小 ($15 \times 15 \times 50$ 公分) 和延發時間間隔範圍大(由 10 到 450 毫秒)。

上面所列举的各种仪器是以电气網路和其他供給非脉冲电流的电源来爆炸药包的。

按照另一种原理設計了專門的脉冲放炮器。例如，1953年國立采煤自动化設計院(Институт гипроуглеавтоматизации)設計了一种 MBM-1M 型多脉冲放炮器(格尔什加設計的放炮器)。本放炮器的作用原理是容电器每隔若干毫秒時間間隔依次向各單独电爆綫路放电。

本放炮器的电力綫路与其他类型的容电器放炮器有很多相同的地方。但是除手动交流發电机、硒整流器和容电器組以外，MBM-1M 型放炮器是用特殊裝置將电气起爆能依次送入各爆破綫路的。

MBM-1M 型放炮器可以保証四組以下的电雷管起爆，每組各有 10 个电雷管串联，且各組总电阻为 20 欧姆。延發時間間隔为 10 到 100 毫秒，而电流沿外部綫路的总傳导时间是 40 到 400 毫秒。放炮器外形尺寸为 $220 \times 170 \times 170$ 公厘。重 4.9 公斤。

但是采用上述各种仪器，对于由很多导綫組成的爆破綫路而言，要想得到几种延發阶段是很复杂的。

B.M.魯契金工程师設計的微差爆破專門电爆綫路消除了上述缺点。

該电爆綫路的作用原理是以分接电雷管多段并联法 (Параллельно ступенчатое соединение зашунтированных электродетонаторов)的以下特性为基础。

当爆破綫路內各段电阻成一定比值关系时，最大值的电流通过第一組电雷管，并使其爆炸。經过以后各組的电流仅为前者的

二分之一到三分之一，也就是說，这时的电流不足以引起这些組的电雷管發生爆炸。

因此，第一組电雷管最先爆炸，并且联結这一組电雷管的导綫也同时被炸断了。第一組电雷管爆炸之后，第二組电雷管即得到最大电流，因而發生爆炸。由于以同一方法分配电流，于是剩下的有着不同微差延發時間的各組药包也依次爆炸。

現在，为了以即發电雷管进行多數药包或药包組的順序微差爆破，建議采用下列兩种电爆綫路：分接綫路（Шунтированная сеть）和單綫分接綫路（Однопроводно-шунтированная сеть）（綜合式綫路—Комбинированная）。

第一种綫路采用与深孔口之傳爆綫相接的电雷管；而第二种綫路（綜合式綫路）則可以采用直接放置在起爆药包內的电雷管，此时，可以避免在爆破推動岩石的一瞬間深孔內端綫短路而引起的拒爆。假若采用以下列舉的各参数，則采用上面建議的电路时預先可以不进行計算。

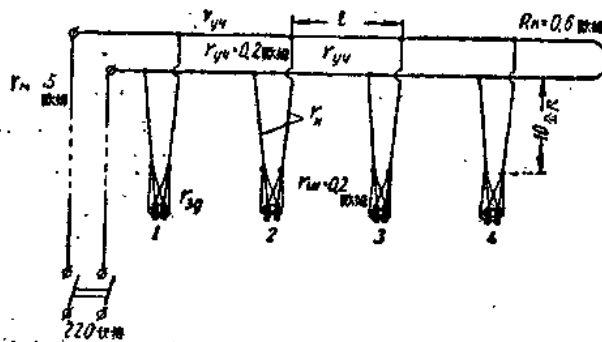


圖 7 爆破延發时间为 15 微秒之药包的分接綫路圖

$r_{d\partial}$ —电雷管电阻，欧姆; r_m —一分路电阻，欧姆; r_{yu} —药包間綫段电阻，欧姆; L —电阻为 r_{yu} 的綫段長度，公尺;
 r_k —端接电阻，欧姆; R_k —終端閉合綫的电阻，欧姆

用定值电阻綫段分接的电雷管的多段并联法是按分接綫路（圖 7）来联接的。

这种分接线路与原先所知道的线路[●]的区别在于前者有终端闭合电阻(Концевое замыкающее сопротивление)，这一电阻可以保证电雷管的平衡爆炸。本线路的电雷管爆炸延时用下列方法获得。当起爆雷管电阻 r_6 与位于两相邻起爆药包联结之间的爆破线路段的电阻 r_{yq} 成一定的比例关系时，则线路总起爆电流的大部分将通过由爆破线路供电方向数起的第一个起爆雷管，而通过其余起爆雷管的电流不足以使这些药包爆破。只有当前一个药包已经爆破并炸断其分支线路后，每后一起爆药包才能得到其爆破时所需的电流。

爆破延时时间取决于进入第一个起爆药包内电雷管桥线的电流值：

电雷管电流值, 安培	延时时间, 毫秒
2.5或2.5以上	15
2.23	20
1.79	30
1.52	40
1.32	50
1.18	60

由所引述的资料可以看出，当通过第一个起爆药包电雷管的电流超过 2.5 安培时，延时时间将减少到 15 毫秒，以后则成为固定值。

用分接线路爆破时，为了获得 15 毫秒的固定延时时间，在实际中必须计算和检查电爆线路的下列参数，并确定总起爆电流的最低必需值，因为：

1. 电雷管电阻 r_{gg} 可以是任何值，但当一起爆药包内有几个电雷管时，那么这些电雷管必须具有略为相等的电阻值；
2. 一个起爆药包内的电雷管数量 K 不应少于两个。起爆药包内的电雷管只允许并联；

● 参看“矿山杂志”1954年第3期31页。

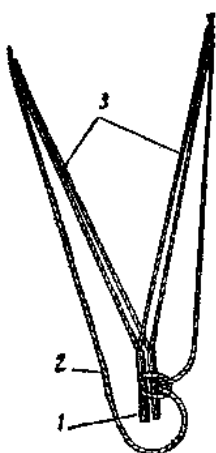


圖 8 并联雷管的分接綫对

1—雷管; 2—一分接導綫; 3—端綫

3. 用起爆药包的电雷管將分接导綫(分綫)并联地接在端綫上, 分接导綫的中部作成环状套在起爆药包的电雷管上, 以便在电雷管爆炸时分接导綫被炸断。(圖 8)。

分接导綫的电阻为 $0.2 \sim 0.25$ 欧姆, 相当于电雷管的兩根長1.5公尺的端綫之电阻。

4. 兩相鄰起爆药包联結处之間爆破綫路綫段的电阻不应小于0.2欧姆, 即 $r_{yx} \geq 0.2$ 欧姆。这相当于起爆药包联結处之間的如下距离 L (見表 a)。

表 a

爆破綫路的銅綫斷面, 平方公厘	电阻值相当于0.2 欧姆 的导綫長度, 公尺
0.5	5.7
0.8	9.1
1.0	11.4

5. 爆破綫路網內的終端延發电阻(Концевое замедляющее сопротивление) $R_k = 3r_{yx} = 0.6$ 欧姆, 相当于导綫的以下長度(見表 B)。

表 b

电阻为 R_k 的导綫長度, 公尺	爆破綫路的銅綫斷面, 平方公厘
17	0.5
27	0.8
34	1.0

6. 主綫电阻 r_x 不大于 5 欧姆, 即 $r_x \leq 5$ 欧姆。
7. 总起爆电流 I_{o0} 不小于 40 安培, 即 $I_{o0} \geq 40$ 安培。
8. 为保証有 40 安培的电流通过有上述參数的爆破綫路,